

## 耐震設計レベルの明確化に関する一考察 一信頼性手法によるアプローチ

京大工学部 正員 魚田弘行  
川崎製鉄 正員 烏本修司

はじめに 通常の土木構造物の耐震設計に関する基本方針としては、中程度の地震に対しては無被害、あるいは軽微な被害にとどめ、最大級の地震動に対しては構造物の完全な崩壊を防ぐといふ考え方が一般に受け入れられてきつたのである。現行の耐震設計法は弾性設計を中心として組立てられているが、弾性設計された構造物が最大の地震動下にあらざる終局状態に達してどの程度の安全性を有するかは必ずしも明確ではなく、弾性限および終局状態という異なる限界状態に対する安全度の関係をばくらかとしたものとすることは重要である。設計変数としての地震荷重と構造物(または構造部材)の強度は通常かなり大きい不確定変動を伴うから、それにも合理的に考慮した安全性評価を行なうためには信頼性解析の手法を導入することが有効であり、本報告の議論もこの方向でなされ。

耐震設計レベル明確化のための研究課題

(1) 構造物の地震限界状態の明確化 各耐震設計レベルで想定する耐震性は、主として降伏後の変形能力に支配されるところより、変形量(ひんせうりょう)と尺度に地震時の限界状態を次の3種に分類する。  
 i) 弹性限界状態 ..... 構造物が、i)の弾性限强度に相当する荷重作用によって降伏変位に達する变形に達しているか、これを超えている状態。  
 ii) 塑性限界状態 ..... 降伏後に、まだ十分な余剰変形能を持ち、安定した耐震性が確保されていると考えられる許容変形量(ひんせうりょう)に達しているか、これを超えている状態。  
 iii) 地震終局限界状態 ..... 荷重作用のこれ以上の増加によって崩壊に至るという最大変形能(ひんせうりょう)に達しているか、これを超えている状態。 $M_u$ 、 $M_{ph}$ は、材料特性はもとより、断面構成、工法によても大きく影響され、のばらつきはかなり大きいものである。

(2) 地震荷重の評価 設計用地震荷重は、地震動そのものの有するばらつきに加えて地震巻生の繩引性から多くの不確定要素を含むものである。(1)で定義したi), ii)の限界状態では構造物の耐用期間内の最大地盤震度(lifetime max. load;  $K_{gm}$ )が対象となるのにに対し、iii)については設計地点で想定しうる最大級の地震による地盤震度(possible max. load;  $K_{gu}$ )を考慮すべきである。これらの平均値( $\bar{K}_{gm}$ ,  $\bar{K}_{gu}$ )および変動係数( $\Omega_{Kgm}$ ,  $\Omega_{Kgu}$ )をそれぞれ地震系震頻度係数 $\alpha$ と用いて次式で表す。

$$\bar{K}_{gm} = \alpha K_{gu} \quad (0 < \alpha < 1) \quad - (1) \quad \Omega_{Kgm} = \sqrt{\frac{1}{\alpha}} \Omega_{Kgu} \quad (0 < \alpha) \quad - (2)$$

一般に、地震危険度が高く、最大級の地震動に比較的頻繁に見受けられる地点ほどメカニカルにも上に近い値となると考えられる。

(3) 各耐震設計レベルごとの安全度の明確化 上記(1),(2)によって限界状態、および地震荷重の特性が明らかにされれば、信頼性手法によって各限界状態に対する安全度を算定することができる。実構造物に対する信頼性評価において、設計変数の詳細な確率分布をあらわすのに十分な統計資料を入手することは一般に困難であるため、2次モーメント法<sup>1)</sup>による安全度指標 $\beta$ を用いて安全度を評価するのが現実的である。

i) 弹性限界状態に対する安全性指標  $\beta_e$

設計地盤震度を  $K_{gm}$ 、弾性限强度を  $R_y$  とすると  $K_{gm} = R_y / a_{e-w}$  と  $K_{gm} > K_{gm}$  の時に構造物の安全性は確

Kameda Hiroyuki, Hashimoto Osami

深される。ここで  $W$  は構造物の重量、 $A_e$  は弾性加速度応答倍率であり、減衰定数、固有周期の関数として与えられる。これより、safety margin  $M_e$  は次式となる。

$$M_e = \ln(K_g/K_{gm}) \quad \text{--- (3)}$$

安全性指標  $\beta_e$  は  $M_e$  の平均値  $\bar{M}_e$ 、および標準偏差  $\sigma_{M_e}$  より次式で算定される。

$$\beta_e = \bar{M}_e / \sigma_{M_e} = \ln(K_g/K_{gm}) / \sqrt{\Omega_{kgm}^2 + \Omega_{kgm}^2} \quad \text{--- (4)}$$

ただし、 $\bar{M}_e$  は平均値、 $\Omega$  は変動係数を表す。

### ii) 塑性限界状態に対する安全性指標 $\beta_p$

完全弾塑性系に対する Veltos, Newmark の仮定<sup>2)</sup>をバイニア系に応用すると、塑性限界じん性率  $\mu_p$  が規定される。塑性限界状態での耐震性は、それと等価な耐震性を有する弾性系の降伏耐力  $R_p$  で表わされるとして、図-1 における  $\triangle BOF$  と  $\square AOGD$  の面積の等価性より次式で与えられる。

$$R_p = N \sqrt{2\mu_p - 1 + \theta(\mu_p - 1)^2} R_g \quad \text{--- (5)}$$

ここで  $\theta$  はバイニア系の 2 次勾配  $k_2$  の 1 次勾配  $k_1$  に対する比 ( $k_2/k_1$ ) であり、 $R_g$  は降伏強度である。また  $N$  は Veltos, Newmark の仮定におけるばらつきを考慮するための補正係数である。(5) 式で与えられる  $R_p$  は i) と同様に  $A_e, W$  を除いた地盤震度  $K_p$  によって表わされ、塑性限界状態に対する safety margin  $M_p$  は次式となる。

$$M_p = \ln(K_p/K_{gp}) \quad \text{--- (6)}$$

(6) 式を用いて、塑性限界状態に対する安全性指標  $\beta_p$  は次の(7), (8), (9) 式で求められる。

$$\beta_p = \frac{M_p}{\sigma_{M_p}} = \frac{\ln(K_p/K_{gp})}{\sqrt{\Omega_{Kp}^2 + \Omega_{Kgp}^2}} = \frac{\ln(N\sqrt{2\mu_p - 1 + \theta(\mu_p - 1)^2} K_g/K_{gp})}{\sqrt{\Omega_{Kp}^2 + \Omega_{Kgp}^2}} \quad \text{--- (7)}$$

$$\Omega_{Kp}^2 = \frac{\sigma_{M_p}^2}{K_p^2} = \Omega_{kg}^2 + [\bar{\Psi}(\mu_p)]^2 \Omega_{kgp}^2 + 2\bar{\Psi}(\mu_p) \Omega_{kp} \Omega_{kg} \rho_{kp} K_g + 2\bar{\Psi}(\mu_p) \Omega_{kp} \Omega_{gn} \rho_{kp} \rho_{gn} + \Omega_n^2 \quad \text{--- (8)}$$

$$\bar{\Psi}(\mu) = \frac{1 + \theta(\mu - 1)}{(2 - \frac{1}{2}\mu) + \theta(\mu - 1)^2/\mu} \quad \text{--- (9)}$$

### iii) 耐震終局限界状態に対する安全性指標 $\beta_u$

Veltos, Newmark の仮定を用いて、終局限界じん性率  $\mu_u$  が規定される耐震終局限界状態での耐震性を表すと、ii) と同様に図-1 における  $\triangle COH$  と  $\square AOU$  の面積が等しい事より、地盤震度  $K_u$  に正規化して次式となる。

$$K_u = N \sqrt{2\mu_u - 1 + \theta(\mu_u - 1)^2} K_g \quad (= R_u/A_e \cdot W) \quad \text{--- (10)}$$

次の(11)式によると safety margin  $M_u$  が与えられることが、耐震終局限界状態に対する安全性指標  $\beta_u$  は以下のようになる。

$$M_u = \ln(K_u/K_{gu}) \quad \text{--- (11)}$$

$$\beta_u = \frac{M_u}{\sigma_{M_u}} = \frac{\ln(K_u/K_{gu})}{\sqrt{\Omega_{Ku}^2 + \Omega_{Kgu}^2}} = \frac{\ln(N\sqrt{2\mu_u - 1 + \theta(\mu_u - 1)^2} K_g/K_{gu})}{\sqrt{\Omega_{Ku}^2 + \Omega_{Kgu}^2}} \quad \text{--- (12)}$$

$$\Omega_{Ku}^2 = \frac{\sigma_{M_u}^2}{K_u^2} = \Omega_{kg}^2 + [\bar{\Psi}(\mu_u)]^2 \Omega_{kgu}^2 + 2\bar{\Psi}(\mu_u) \Omega_{ku} \Omega_{kg} \rho_{ku} K_g + 2\bar{\Psi}(\mu_u) \Omega_{ku} \Omega_{gn} \rho_{ku} \rho_{gn} + \Omega_n^2 \quad \text{--- (13)}$$

これらの安全性指標に関する数値計算結果、および各耐震設計レベルとの安全度の関係を考慮して提案した耐震設計の分類について当日発表の予定。

[参考文献] 1) Aug.Alt-S., Connell,C.A.; Reliability-Based of Structural Safety and Design, ST. ASCE, Sept. 1974.

2) Veltos, A.S., Newmark, N.H.; Effect of Inelastic Behavior on the Response of Simple System to Earthquake Motions, Proc. SWCEE. 1960.

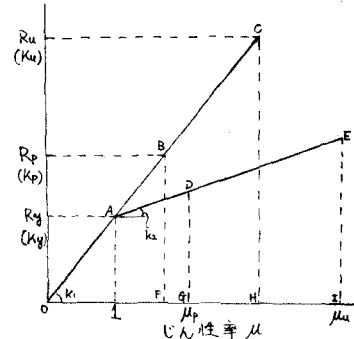


図-1 等価弾性系の概念